

## МЕТОД ОЦЕНКИ ПОГРЕШНОСТИ ОПРЕДЕЛЕНИЯ СПЕКТРОВ ПОЛЕЙ НЕЙТРОНОВ ЯДЕРНО-ФИЗИЧЕСКИХ УСТАНОВОК

© 2011 г. А. С. Кошелев\*, В. Д. Севастьянов

ВНИИ физико-технических и радиотехнических измерений  
Россия, 141570, Московская обл., Солнечногорский р-н, п/о Менделеево

\*РФЯЦ—ВНИИ экспериментальной физики  
Россия, 607190, Саров Нижегородской обл., просп. Мира, 37

Поступила в редакцию 17.01.2011 г

Описан метод оценки погрешности расчета спектра нейтронов ядерно-физических установок, основанный на использовании вероятных погрешностей физически обусловленных парциальных спектров, формирующих результатирующий спектр нейтронов.

### ВВЕДЕНИЕ

Несмотря на определенные достижения в разработке новых методов и средств прямого измерения дифференциальных спектров нейтронов различных ядерно-физических установок (я.ф.у.) [1], в полях мощных источников нейтронного излучения (например, в полях ядерных реакторных установок в присутствии интенсивного  $\gamma$ -излучения) по-прежнему широко используется метод определения спектра нейтронов по результатам измерений с использованием интегральных детекторов различных типов — активационных, делительных, трековых и мультиферных, а также ионизационных камер [1].

Однако эффективные формы поиска спектральных решений по интегральным данным [2] опережают в своем развитии способы оценки их погрешностей (неопределенностей). Из последних информационных сообщений, посвященных вопросам оценки погрешностей спектральных решений, получаемых с применением интегральных детекторов нейтронов, можно отметить только работу [3]. Авторы этой работы анализируют опыт применения метода статистических испытаний для определения коридора неопределенности дифференциального энергетического спектра нейтронов, восстановленного по результатам нейтронно-активационных измерений.

Предлагаемый ниже метод оценки полной погрешности определения спектра нейтронов я.ф.у. основан на использовании вероятных погрешностей физически обусловленных модельных спектров, формирующих итоговое спектральное решение. Метод ориентирован в первую очередь на спектральные решения в энергетическом формате программы КАСКАД для повышения прикладной информационности справочных данных по нейтронным спектрам, представленных в [2]. В

процессе разработки и апробации метода была также установлена возможность использования предлагаемого подхода в качестве эффективного метода оценки спектральной эффективности используемого (или планируемого) набора измерительных интегральных детекторов в несколько иной форме, чем рассматриваемого в [4].

### ПРЕДСТАВЛЕНИЕ СПЕКТРОВ НЕЙТРОНОВ Я.Ф.У., ВОССТАНАВЛИВАЕМЫХ ПО ПРОГРАММЕ КАСКАД

Анализ итоговых спектральных решений в полях я.ф.у., представленных в работе [2], показывает, что для преимущественного множества рассмотренных конфигураций вполне удовлетворительным итоговым вариантом является решение в виде суперпозиции ограниченного числа физически обусловленных модельных спектров, выраженных в аналитической форме.

Аналитически конкретизированные составляющие итогового суперпозиционного спектрального решения предлагается рассматривать как вариативные элементы спектрального структурирования в формализме поиска неопределенности (погрешности) полного или парциального флюенса в рассматриваемом энергетическом диапазоне спектра.

Параметр  $Q_{i,m}$ , связующий энергетическое распределение флюенса нейтронов модельного спектра  $m$ -типа  $F_m(E)$  с функционалом нейтронного взаимодействия  $i$ -типа  $\sigma_i(E)$ , определим как

$$Q_{i,m} = \int_{E_{\min}}^{E_{\max}} F_m(E) \sigma_i(E) dE. \quad (1)$$

В энергетическом формате программы КАСКАД  $E_{\min} = 10^{-10}$  МэВ,  $E_{\max} = 18$  МэВ. Формализм про-

граммы КАСКАД ориентирован на использование модельных спектров четырех типов:  $m = 1$  – модельный спектр в форме Максвелла вида  $F_1(E) = 2\alpha^{3/2}e^{-\alpha E}\sqrt{E/\pi}$ ;  $m = 2$  – модельный спектр в форме Вайскопфа вида  $F_2(E) = \alpha^2 E e^{-\alpha E}$ ;  $m = 3$  – модельный спектр в форме Ферми вида  $F_3 = K_1(E)K_2(E)E^{-\alpha}$ , где  $K_1(E) = [1 + (10^{-7}/E)^7]^{-1}$ ,  $K_2(E) = [1 + (E/0.2)^2]^{-1}$ ;  $m = 4$  – модельный спектр в форме Гаусса вида  $F_4 = (\sigma\sqrt{2\pi})^{-1} e^{-(E-\alpha)^2/2\sigma^2}$ . Параметры  $\alpha$  и  $\sigma$  – варьируемые без ограничения количества вариаций.

Определенный в форме (1) параметр  $Q_{i,m}$  в физическом смысле представляет собой интегральный отклик детектора  $i$ -типа, обусловленный флюенсом нейтронов  $F_m(E)$ .

Спектральное решение программы КАСКАД как композиция из  $k$  модельных спектров  $F_m(E)$  может быть представлено в виде

$$F(E) = \sum_1^k a_m^k F_m^k(E) = \sum_1^k a_k F_k(E), \quad (2)$$

где коэффициенты  $a_m^k = a_k$  в нормировке  $\sum_1^k a_m^k = \sum_1^k a_k = 1$  определяют относительное долевое содержание  $k$ -й композиционной составляющей.

С учетом (1) и (2) для интегрального отклика детектора  $i$ -типа, обусловленного флюенсом нейтронов  $F(E)$ , имеем

$$Q_i = \sum_1^k a_k Q_{i,k}. \quad (3)$$

Определим относительную долю  $i$ -го функционального отклика, обусловленного  $k$ -й композиционной составляющей, в  $i$ -м функциональном отклике, определяемом композиционным спектром, в виде

$$q_{i,k} = a_k Q_{i,k} / Q_i. \quad (4)$$

Аналитическая форма модельных спектров  $F_1(E)$ ,  $F_2(E)$ ,  $F_4(E)$  соответствует условию равенства единице результата интегрирования в энергетическом интервале от 0 до  $\infty$ . Для всех практически используемых вариантов модельных спектров указанных типов в рамках работы [2] энергетический интервал программы КАСКАД (от  $10^{-10}$  до 18 МэВ) адекватен по результатам интегрирования интервалу от 0 до  $\infty$ .

Аналитическая форма модельного спектра  $F_3(E)$  не соответствует условию равенства единице результата интегрирования в энергетическом интервале от 0 до  $\infty$ . Поэтому при формировании массива групповых флюенсов  $F_3(E)\Delta E$  следует использовать соответствующую нормирующую процедуру.

Функционалы нейтронных взаимодействий  $\sigma_i(E)$  в энергетическом формате КАСКАД представлены в [2]. Формирование необходимых массивов групповых флюенсов для модельных спектров  $F_1(E)$ ,  $F_2(E)$ ,  $F_3(E)$  и  $F_4(E)$  в энергетическом формате КАСКАД может быть осуществлено с использованием программного формализма Exell. Определение искомых параметров  $Q_{i,m}$  сводится к суммированию по выборке КАСКАД результатов перемножения групповых значений  $\sigma_i(\bar{E}_j)$ ,  $F_m(\bar{E}_j)$ ,  $\Delta E_j$  ( $\bar{E}_j$ ,  $\Delta E_j$  – средняя энергия и ширина  $j$ -го энергетического интервала используемого формата КАСКАД соответственно).

Итоговый результат спектрального структурирования для рассматриваемой  $k$ -композиции может быть представлен в виде двумерного массива данных  $\{q_{i,k}, a_k\}$  и его графического отображения в форме диаграммы с фиксацией по оси абсцисс порядкового номера модельного спектра в составе спектральной композиции и соответствующих ему видов интегральных откликов, а по оси ординат – соответствующих численных величин  $q_{i,k}$  и  $a_k$ .

## АЛГОРИТМ ОЦЕНКИ ПОГРЕШНОСТЕЙ ОПРЕДЕЛЕНИЯ СПЕКТРА НЕЙТРОНОВ

Для любого модельного спектра флюенс нейтронов может быть определен по соотношению  $F_m = Q_{i,m}/\sigma_{i,m}$ , где  $\sigma_{i,m}$  – интегральное сечение нейтронного взаимодействия детектора  $i$ -типа для спектра  $m$ -типа. Соответственно относительная погрешность  $\delta(F_m)$  может быть определена (см., например, [4]) по соотношению  $\delta(F_m) = \delta_{i,m} = \sqrt{\delta^2(Q_{i,m}) + \delta^2(\sigma_{i,m})}$ , где  $\delta(Q_{i,m})$  – погрешность измерения интегрального отклика  $Q_{i,m}$ , а  $\delta(\sigma_{i,m})$  – погрешность расчета с использованием элементарных констант интегрального сечения  $\sigma_{i,m}$  на интервале определения модельного спектра  $m$ -типа.

Флюенс нейтронов модельного спектра  $m$ -типа в  $k$ -элементной спектральной композиции с установленными значениями  $a_m^k = a_k$  в рамках вышесказанного может быть определен по соотношению

$$F_m^k = F_k = a_k Q_{i,k} / \sigma_{i,k}. \quad (5)$$

Очевидно, что использование части интегрального отклика  $Q_{i,k}$  может повлечь за собой возрастание погрешности  $F_k$  и тем большее, чем меньше  $a_k$ . Для единичного интегрального отклика, допускающего определение  $F_k$  по соотношению (5), можно ожидать увеличения погрешности  $\delta_{i,k}$  в  $\sim 1/q_{i,k}$  раза.

В случае определения  $F_k$  как среднего по выборке данных  $Q_{i,k}$  погрешности  $\delta_{i,k}$  следует рассматривать как статистически независимые, следствием чего должно быть уменьшение совокупной погрешности  $F_k$ .

При наличии выборки из  $n$  разновеликих, как правило, значений  $q_{i,k}$ , сформированной для  $k$ -й составляющей композиционного спектра, погрешность  $\delta_k$  предлагается определять (оценивать) по соотношению

$$\delta_k = \sqrt{\sum_{i=1}^n (\delta_{i,k}/q_{i,k})^2 / \left( \sum_{i=1}^n w_{i,k} \right)^2}, \quad (6)$$

где параметр  $w_{i,k} = q_{i,k}/(q_{i,k})_{\max}$  представляет собой парциальный “вес”  $i$ -го интегрального отклика в нормализованной выборке  $q_{i,k}$  по условию  $(q_{i,k})_{\max} = 1$ .

Опыт практической апробации оценки погрешности с использованием выражения (6) показывает, что в случае равенства значений  $q_{i,k}$  имеет место монотонное уменьшение величины  $\delta_k$  с увеличением количества используемых интегральных откликов  $n$ .

В случае неравенства значений  $q_{i,k}$  имеет место функциональная зависимость величины  $\delta_k$  от  $n$  с выраженным ростом погрешности  $\delta_k$  при использовании  $q_{i,k} \ll (q_{i,k})_{\max}$  ( $w_{i,k} \ll 1$ ). Поэтому количество используемых значений  $q_{i,k}$  для определения  $\delta_k$  по соотношению (6) в общем случае целесообразно ограничивать по критерию минимизации  $\delta_k(n)$ .

Для оценки погрешности флюенса нейтронов в энергетических границах определения спектрального решения из  $k$  модельных спектров с использованием генеральной выборки погрешностей комплектующих  $\delta_k$  предлагается следующий формализм:

- выборка значений  $\delta_k$  преобразуется в выборку значений  $a_k \delta_k$ ;
- погрешность определения флюенса композиционного спектра в энергетических границах определения (в формате КАСКАД от  $10^{-10}$  до 18 МэВ) оценивается по соотношению

$$\delta = \sqrt{\sum_k (a_k \delta_k)^2 / \left( \sum_k w_k \right)^2}, \quad (7)$$

где  $w_k = a_k \delta_k / (a_k \delta_k)_{\max}$ .

Для оценки погрешности флюенса нейтронов в выбранных энергетических границах в пределах энергетических границ определения спектрального решения из  $k$  модельных спектров (тепловые нейтроны, быстрые нейтроны с установленным энергетическим порогом и т.п.) с использованием

генеральной выборки погрешностей комплектующих  $\delta_k$  предлагается следующий формализм:

- флюенс на интервале  $\Delta E_{ab} = E_b - E_a$  как результат суммирования долевых вкладов модельных спектров представляется в виде

$$F(\Delta E_{ab}) = \sum_k a_k b_k(\Delta E_{ab}) F_k, \quad (8)$$

где множители  $b_k(\Delta E_{ab})$  определяют относительную долю единичного модельного спектра  $F_k$ , соответствующую интервалу  $\Delta E_{ab}$ ;

- относительная доля (парциальный вклад) модельного спектра  $F_k$  в составе композиционного решения, соответствующая интервалу  $\Delta E_{ab}$ , с учетом (8) переопределяется с использованием соотношения

$$a_k(\Delta E_{ab}) = a_k b_k(\Delta E_{ab}) / \sum_k a_k b_k(\Delta E_{ab}); \quad (9)$$

- погрешность определения флюенса композиционного спектра в энергетическом интервале  $\Delta E_{ab}$  с учетом (9) оценивается по соотношению

$$\delta(\Delta E_{ab}) = \sqrt{\sum_k [a_k(\Delta E_{ab}) \delta_k]^2 / \left( \sum_k w_k(\Delta E_{ab}) \right)^2}, \quad (10)$$

где  $w_k(\Delta E_{ab}) = a_k(\Delta E_{ab}) \delta_k / [a_k(\Delta E_{ab}) \delta_k]_{\max}$ .

Следующее из выражения (10) распространение ошибки  $\delta_k$  модельного спектра  $F_k$  на его долю в интервальной композиции обусловлено одинаковостью погрешностей целого и части в рамках принятого определения  $F_k(E)$  в фиксированной аналитической форме.

## АПРОБАЦИЯ МЕТОДА ОЦЕНКИ ПОГРЕШНОСТИ ОПРЕДЕЛЕНИЯ СПЕКТРА НЕЙТРОНОВ

Для апробации изложенного метода были выбраны 2 спектра из работы [2]:

- спектр реактора АРГУС (графитовый замедлитель (г.з.) в экспериментальном канале ЭК-2 на высоте 200 мм от дна канала) [2, с. 542]: восемь модельных спектров  $F_2(E) = \alpha^2 E e^{\alpha E}$  со значениями  $\alpha$ , равными  $3.52 \cdot 10^7, 8, 4, 2, 1.333, 1, 0.8, 0.4$  МэВ $^{-1}$ ; один модельный спектр  $F_3 = K_1(E) K_2(E) E^{-\alpha}$  с  $\alpha = -1.0$ ; шесть реакций активации:  $^{176}\text{Lu}(n, \gamma)$ ,  $^{197}\text{Au}(n, \gamma)$ ,  $^{63}\text{Cu}(n, \gamma)$ ,  $^{115}\text{In}(n, n')$ ,  $^{58}\text{Ni}(n, p)$ ,  $^{27}\text{Al}(n, \alpha)$  – все без поглощающих фильтров (б/ф);

- спектр реактора АРГУС\* (графитовый замедлитель (г.з.) в экспериментальном канале ЭК-2 на высоте 200 мм от дна канала) [2, с. 546]: четыре модельных спектра  $F_2(E) = \alpha^2 E e^{\alpha E}$  со значениями  $\alpha$ , равными  $3.445 \cdot 10^7, 5, 0.97, 0.69$  МэВ $^{-1}$ ; один модельный спектр  $F_3 = K_1(E) K_2(E) E^{-\alpha}$  с  $\alpha = -0.97$ ;

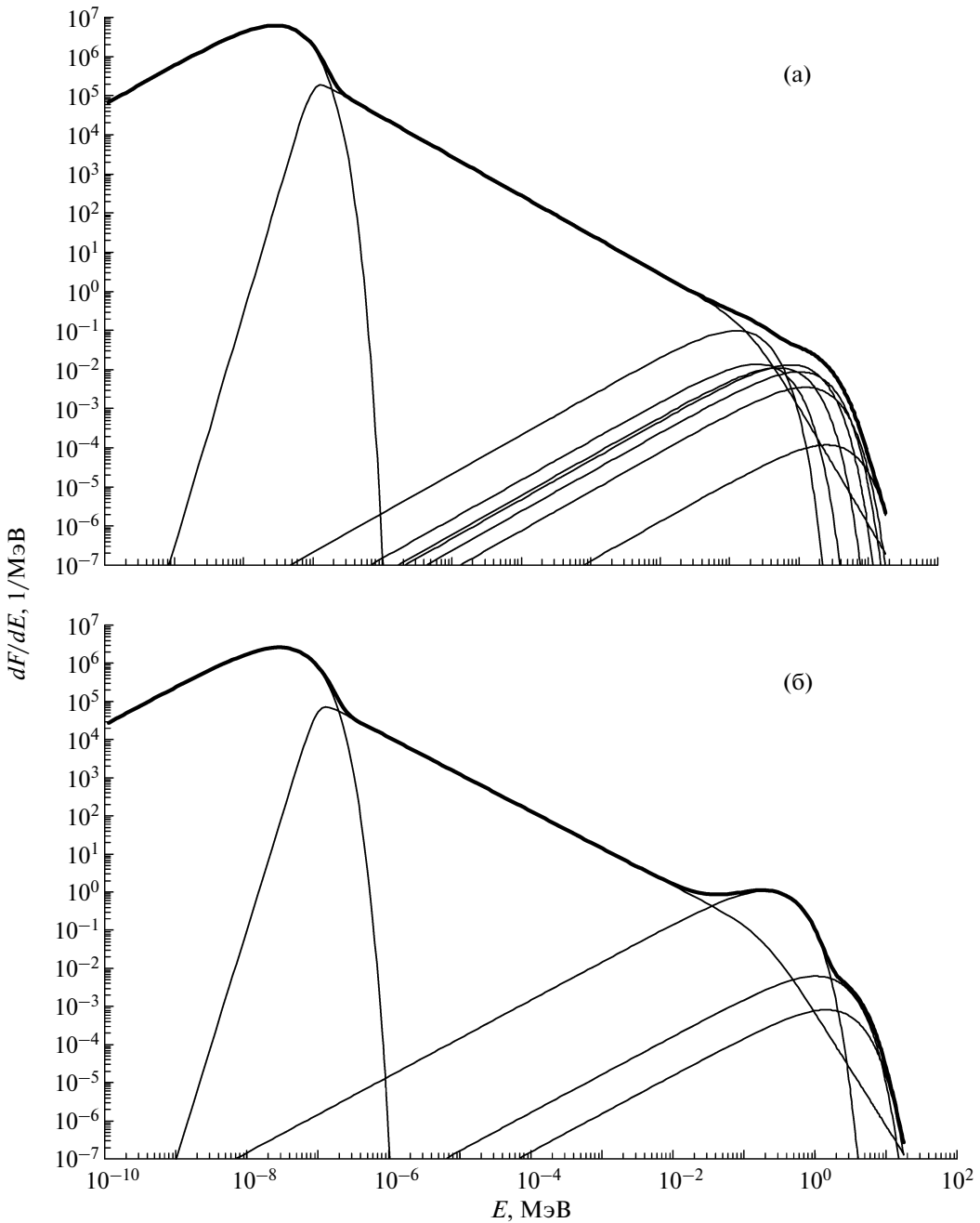


Рис. 1. Итоговое решение и композиционные составляющие для спектров АРГУС (а) и АРГУС\* (б).

пять реакций активации:  $^{176}\text{Lu}(n, \gamma)$ ,  $^{197}\text{Au}(n, \gamma)$ ,  $^{63}\text{Cu}(n, \gamma)$ ,  $^{58}\text{Ni}(n, p)$ ,  $^{27}\text{Al}(n, \alpha)$  – все б/ф.

Выбор спектров в первую очередь продиктован особенностями итоговых спектральных решений КАСКАД, позволяющих наглядно продемонстрировать возможности предлагаемого подхода к оценке погрешности как на всем интервале определения, так и в выбранных энергетических границах.

Для придания количественного характера оцениваемым погрешностям спектрального решения

все погрешности  $\delta_{i,m} = \delta_{i,k}$ , связанные с исходными данными, были приняты равными 5%.

Итоговые спектральные решения АРГУС и АРГУС\* и составляющие их модельные спектры в графической форме иллюстрируют рис. 1.

Выборки параметров  $q_{i,k}$  для спектральных решений АРГУС и АРГУС\* представлены в табл. 1 и 2 соответственно, а их графические отображения в диаграммной форме – на рис. 2. По оси абсцисс цифрами отмечены порядковые значения  $k$ , соот-

**Таблица 1.** Выборка параметров  $q_{i,k}$  для спектрального решения АРГУС

k	m	$\alpha_m$	$q_{i,k}$						$a_k$
			$^{176}\text{Lu}(n, \gamma)$	$^{197}\text{Au}(n, \gamma)$	$^{63}\text{Cu}(n, \gamma)$	$^{115}\text{In}(n, n')$	$^{58}\text{Ni}(n, p)$	$^{27}\text{Al}(n, \alpha)$	
1	2	3.52 + 7	0.8936*	0.4784	0.8988*	0.0000	0.0000	0.0000	0.4828
2	3	-1.0	0.1064	0.5214*	0.1002	0.0097	0.0059	0.0000	0.3967
3	2	8	0.0000	0.0001	0.0004	0.0040	0.0000	0.0000	0.0332
4	2	4	0.0000	0.0000	0.0001	0.0132*	0.0014	0.0000	0.0093
5	2	2	0.0000	0.0000	0.0001	0.0991*	0.0381	0.0000	0.0150
6	2	1.333	0.0000	0.0000	0.0002	0.3046*	0.2246*	0.0298	0.0267
7	2	1	0.0000	0.0000	0.0001	0.3497*	0.3868*	0.2057	0.0236
8	2	0.8	0.0000	0.0000	0.0001	0.2035	0.2977*	0.3724*	0.0119
9	2	0.4	0.0000	0.0000	0.0000	0.0162	0.0456	0.3034*	0.0008

\* Данные, использованные для определения  $\delta_k$  по соотношению (6).

**Таблица 2.** Выборка параметров  $q_{i,k}$  для спектрального решения АРГУС\*

k	m	$\alpha_m$	$q_{i,k}$					$a_k$
			$^{176}\text{Lu}(n, \gamma)$	$^{197}\text{Au}(n, \gamma)$	$^{63}\text{Cu}(n, \gamma)$	$^{58}\text{Ni}(n, p)$	$^{27}\text{Al}(n, \alpha)$	
1	2	3.445 + 7	0.8803*	0.4697	0.8806*	0.0000	0.0000	0.2066
2	3	-0.97	0.1192	0.5269*	0.1049	0.0000	0.0000	0.1931
3	2	5	0.0005	0.0034	0.0144	0.0002	0.0000	0.5798
4	2	0.97	0.0000	0.0000	0.0002	0.6925*	0.4740*	0.0173
5	2	0.69	0.0000	0.0000	0.0000	0.2325	0.5260*	0.0032

\* Данные, использованные для определения  $\delta_k$  по соотношению (6).

**Таблица 3.** Пример подготовки данных для расчета погрешностей  $\delta$  и  $\delta(\Delta E_{ab})$  в интервале от 0.1 до 18 МэВ для спектральных решений АРГУС и АРГУС\*

k	$a_k$	$\delta_k, \%$	$a_k \delta_k, \%$	$w_k$	$b_k$	$a_k b_k$	$a_k(\Delta E_k)$	$a_k(\Delta E_k) \delta_k, \%$	$w_k(\Delta E_{ab})$
Спектральное решение АРГУС									
1	0.4828	3.97	1.92	0.504	0.0000	0.0000	0.0000	0.00	0.000
2	0.3967	9.59	3.80	1.001	0.0554	0.0220	0.1579	1.51	0.061
3	0.0332	0.00	0.00	0.000	0.9379	0.0311	0.2237	0.00	0.000
4	0.0093	379	3.52	0.928	0.9826	0.0091	0.0657	24.9	1.000
5	0.0150	50.4	0.76	0.199	0.9920	0.0149	0.1069	5.39	0.217
6	0.0267	15.9	0.42	0.112	0.9954	0.0266	0.1910	3.04	0.122
7	0.0236	10.1	0.24	0.063	0.9970	0.0235	0.1691	1.71	0.069
8	0.0119	18.4	0.22	0.058	0.9931	0.0118	0.0849	1.56	0.063
9	0.0008	16.5	0.01	0.003	0.1360	0.0001	0.0008	0.01	0.001
Спектральное решение АРГУС*									
1	0.2066	4.02	0.83	0.004	0.0000	0.0000	0.0000	0.00	0.000
2	0.1931	9.49	1.83	0.009	0.0683	0.0132	0.0235	0.22	0.001
3	0.5798	347	201	1.001	0.9088	0.5269	0.9400	326	1.001
4	0.0173	7.22	0.12	0.001	0.9956	0.0172	0.0307	0.22	0.001
5	0.0032	9.51	0.03	0.000	0.9977	0.0032	0.0057	0.05	0.000

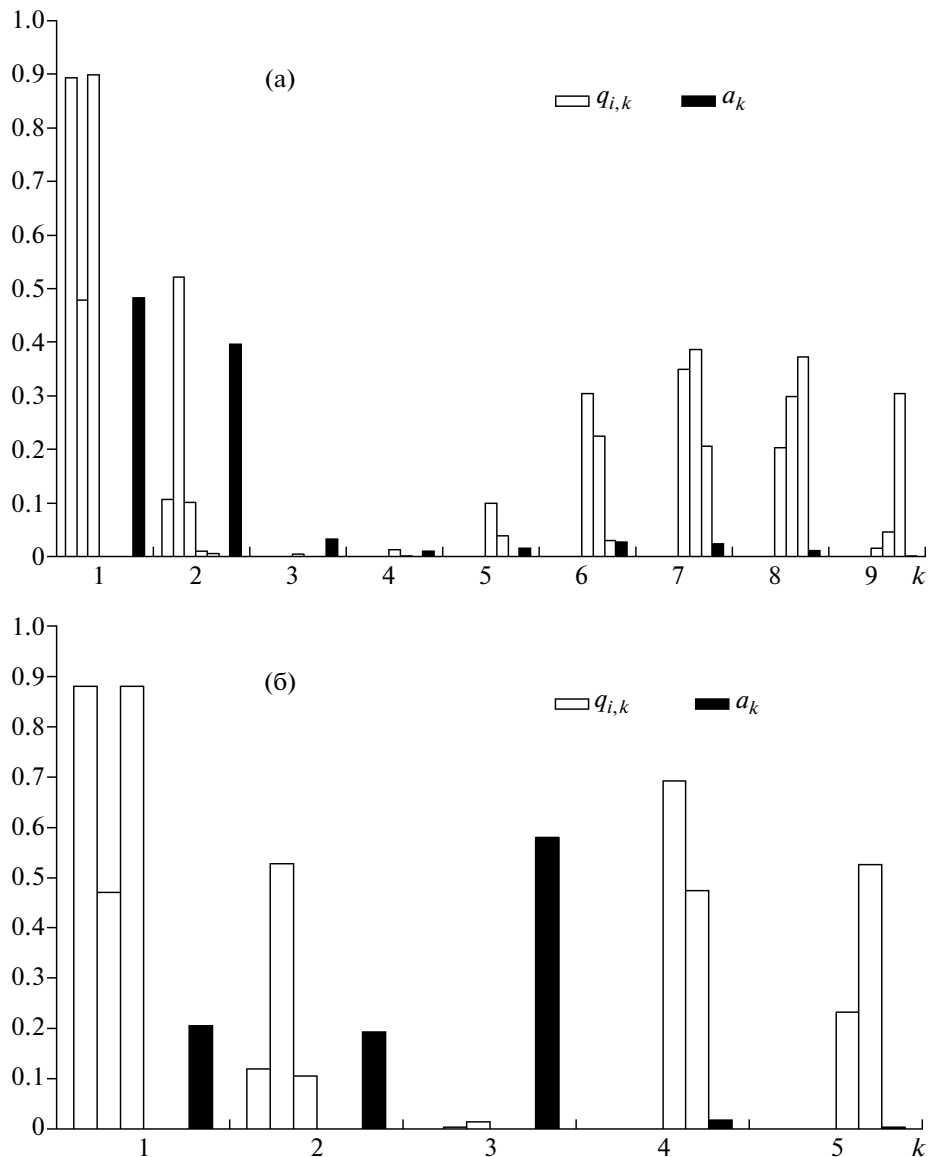


Рис. 2. Графическое представление выборки параметров  $q_{i,k}$  для спектральных решений АРГУС (а) и АРГУС\* (б).

ветствующие приведенным в упомянутых таблицах значениям.

Диаграммная форма представления параметров  $q_{i,k}$  совместно с параметрами  $a_k$  наглядно иллюстрирует репрезентативность использованного набора измерительных интегральных детекторов для анализируемого спектрального решения. Анализ рис. 2б показывает, что для энергетического интервала определения модельного спектра  $k = 3$  практически нет экспериментальных показаний интегральных детекторов.

Недостаточная информационная репрезентативность измерительного набора интегральных детекторов может напрямую влиять на вероятность увеличения погрешности спектрального решения и не только в диапазоне спектральной нечувстви-

тельности детекторов, но и во всем спектральном диапазоне в целом. Количественный уровень вариативности вероятностных погрешностей иллюстрируют данные, представленные в табл. 3.

Подстановка соответствующих данных из табл. 3 в соотношения (7) и (10) позволяет получить следующие значения полной и интервальной погрешностей для рассматриваемых спектральных решений:

— для спектра АРГУС —  $\delta = 1.95\%$ ,  $\delta(\Delta E_{ab}) = 16.8\%$ ;

— для спектра АРГУС\* —  $\delta = 198\%$ ,  $\delta(\Delta E_{ab}) = 326\%$ .

По схеме, аналогичной представленной в табл. 3, и соотношениям (7), (10) для компоненты тепловых нейтронов рассмотренных спектральных

представлений получены значения  $\delta = 3.97\%$  (АРГУС) и  $\delta = 4.02\%$  (АРГУС\*).

Приведенные выше данные показывают прямую зависимость между информационной репрезентативностью набора измерительных интегральных детекторов и оцениваемыми погрешностями итогового спектрального решения КАСКАД (как в целом, так и поинтервально), величина которых, при отсутствии соответствующего анализа спектральной чувствительности измерительного набора, может оказаться весьма значительной.

## ЗАКЛЮЧЕНИЕ

Предлагаемый метод оценки погрешности спектра флюенса нейтронов ориентирован на поиск спектрального решения по программе КАСКАД в виде суперпозиционной композиции ограниченного числа физически обусловленных модельных спектров различных типов.

Практическая апробация предлагаемого подхода в целом подтвердила возможность достижения физически правдоподобной количественной оценки погрешности как для спектрального решения на всем энергетическом интервале определения, так и на выбранных энергетических интервалах.

Кроме того, установлена также возможность использования предлагаемого метода в качестве эффективного способа оценки спектральной репрезентативности набора интегральных детекто-

ров, использованных для получения необходимых экспериментальных данных. Реализованная форма оценки спектральной репрезентативности может быть использована как на заключительной стадии (после проведения измерений и поиска спектрального решения по сформированной выборке экспериментально установленных интегральных данных), так и на стадии планирования эксперимента. Необходимая оценка может быть выполнена либо с использованием данных расчетной оценки, аппроксимированных соответствующими модельными спектрами, либо с использованием близких спектральных аналогий в полях известной (представимой) физической трансформации.

## СПИСОК ЛИТЕРАТУРЫ

1. Колеватов Ю.И., Семенов В.П., Трыков Л.А. Спектрометрия нейтронов и гамма-излучения в радиационной физике. М.: Энергоатомиздат, 1991.
2. Севастьянов В.Д., Кошелеев А.С., Маслов Г.Н. Характеристики полей нейтронов. Источники мгновенных нейтронов деления, генераторы 14 МэВ нейтронов, исследовательские и энергетические реакторы, устройства, конвертирующие нейтронное излучение. Справочник / Под ред. В.Д. Севастьянова. Менделеево: ВНИИФТРИ, 2007.
3. Григорьев Е.И., Трошин В.С., Ярина В.П. // Измер. техника. 2002. № 1. С. 66.
4. Новицкий П.В., Зограф И.А. Оценка погрешностей результатов измерений. Л.: Энергоатомиздат, 1991.